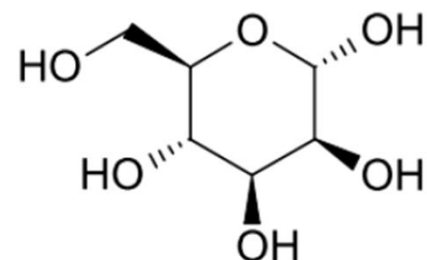
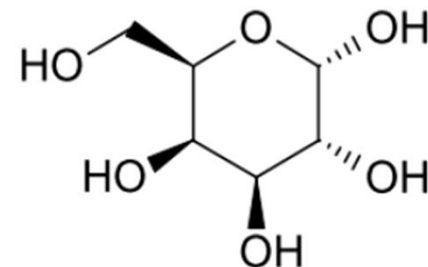


Xylose



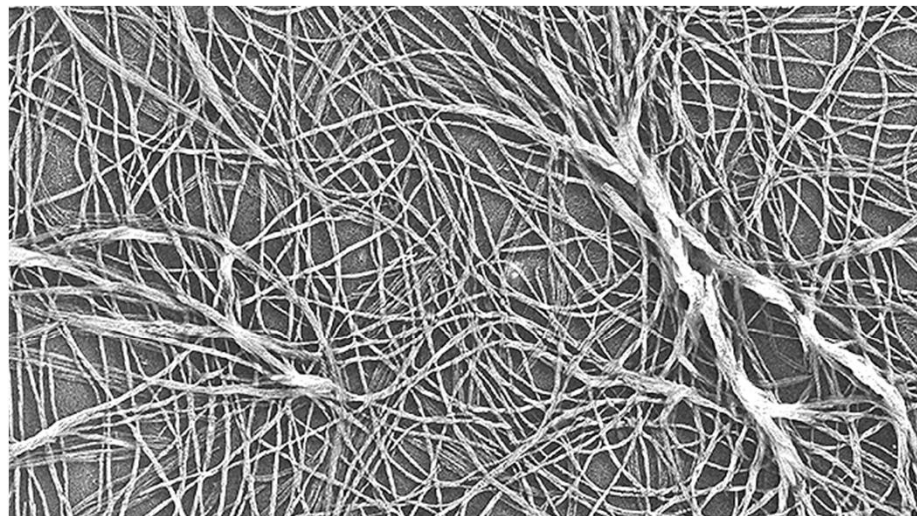
Mannose



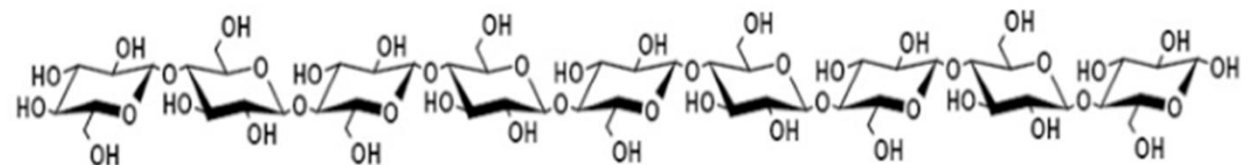
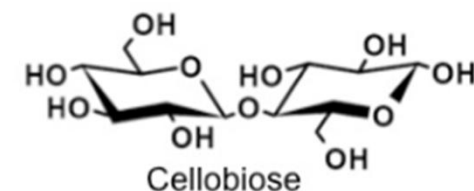
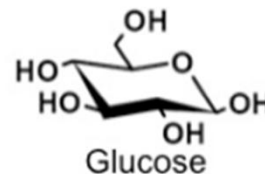
Galaktose

Zucker im Boden

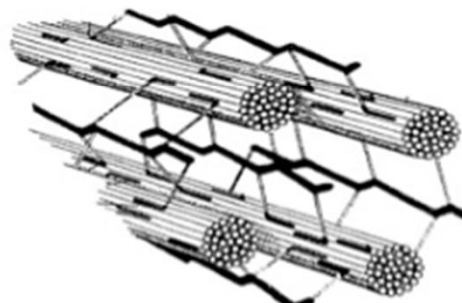
Zellulose



β -(1-4) Glukosepolymer

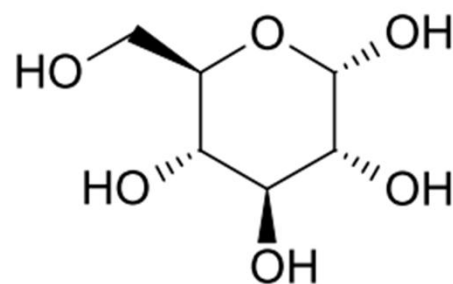


Cellulose chains can exceed 10,000 monomer units

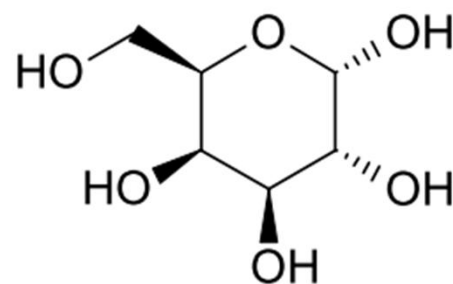


36 chains associate to form
microfibrils that stabilize the cell wall

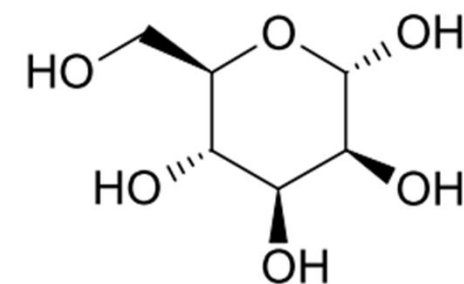
Hemizellulose



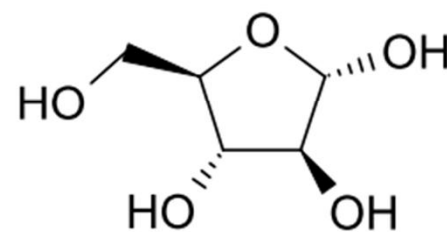
Glukose



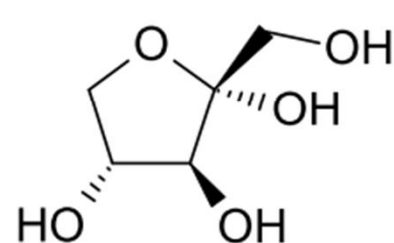
Galaktose



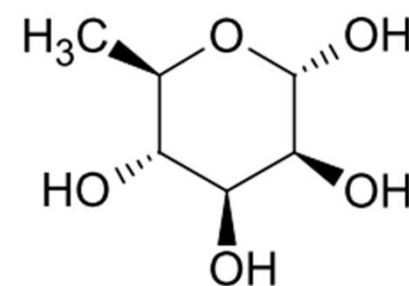
Mannose



Arabinose

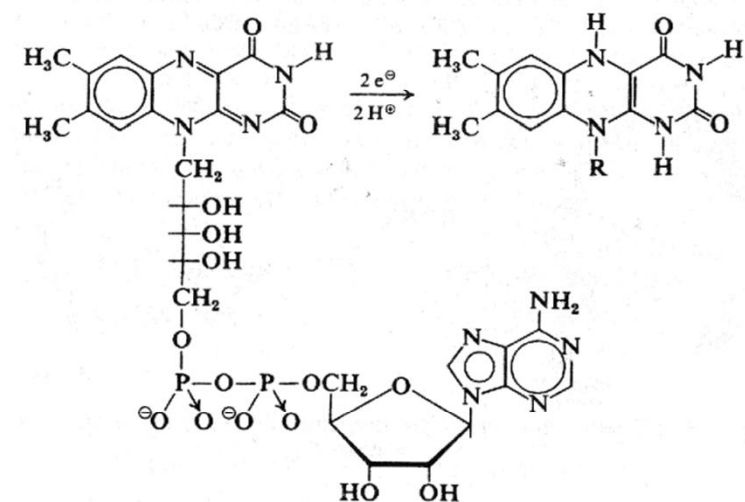
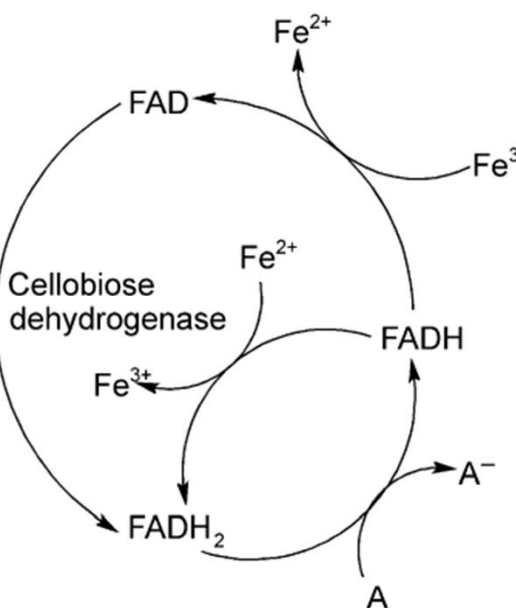
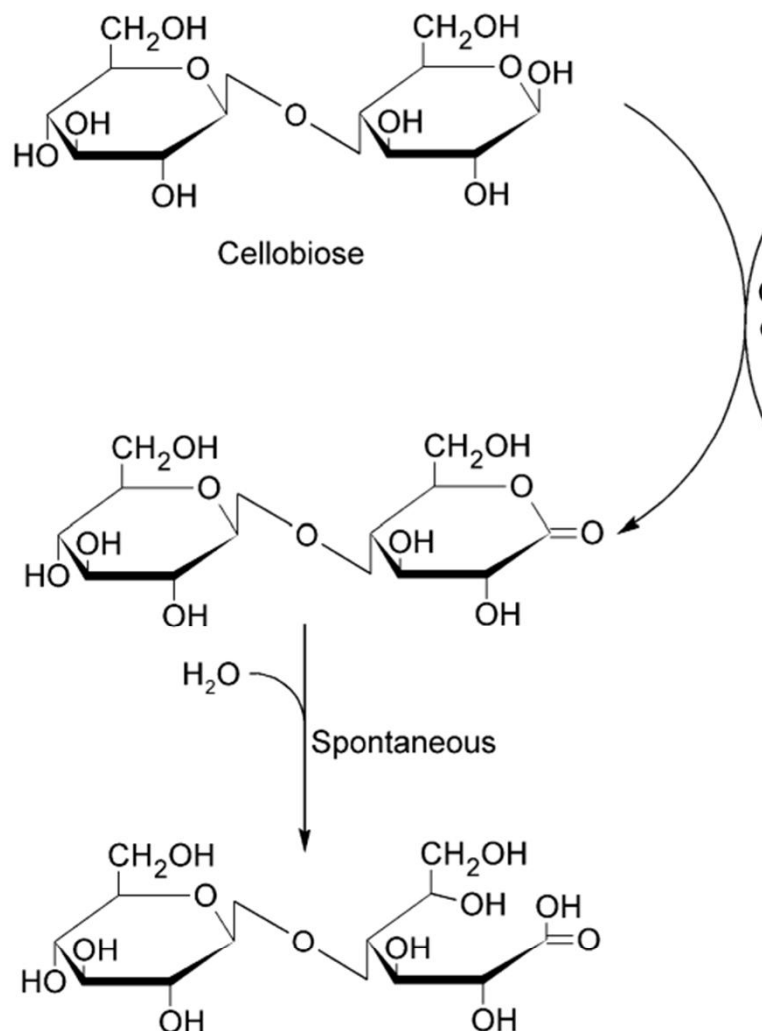


Xylose



Rhamnose

Abbau von Zellulose



FAD, Flavin adenine dinucleotide, oxidized and reduced forms

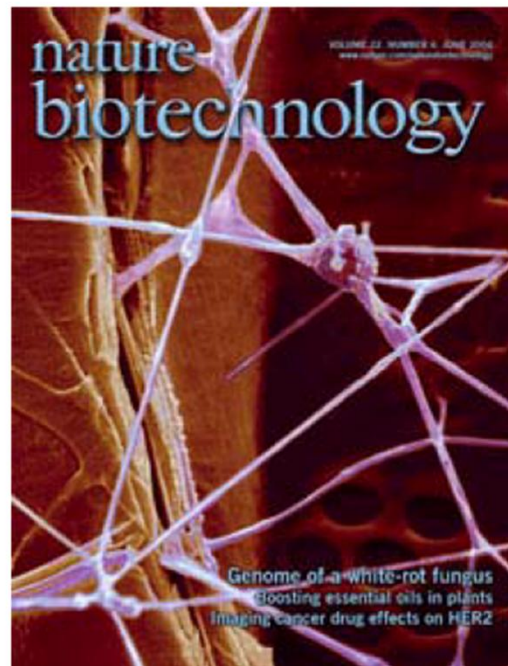
Part of the degradation of lignin is carried out through non-enzymatic processes. In one of these, the so-called hydroxyl radical plays an important part. Although not all steps in lignin degradation are understood, we mention the concept here.

When oxygen is reduced, hydrogen peroxide is formed, which in its turn is split in a reaction. Below we have given a general chemical reaction. So far it is not known how fungi carry out the reaction.



It seems clear, though, that the highly mobile radical ($\cdot\text{OH}$) is produced by fungal enzymes, among others, a cellobiase oxidase and laccase. Hydroxyl radicals may cause an oxidation of lignin to quinines.

Weißfäulepilze (*Phanerochaete chrysosporium*)



Braunfäulepilze (*Ganoderma lucidum*)



Chinonredoxkreisläufe

Fenton Reaktion

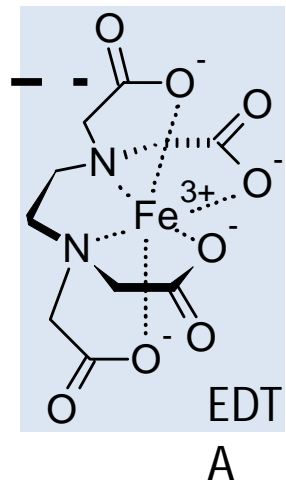
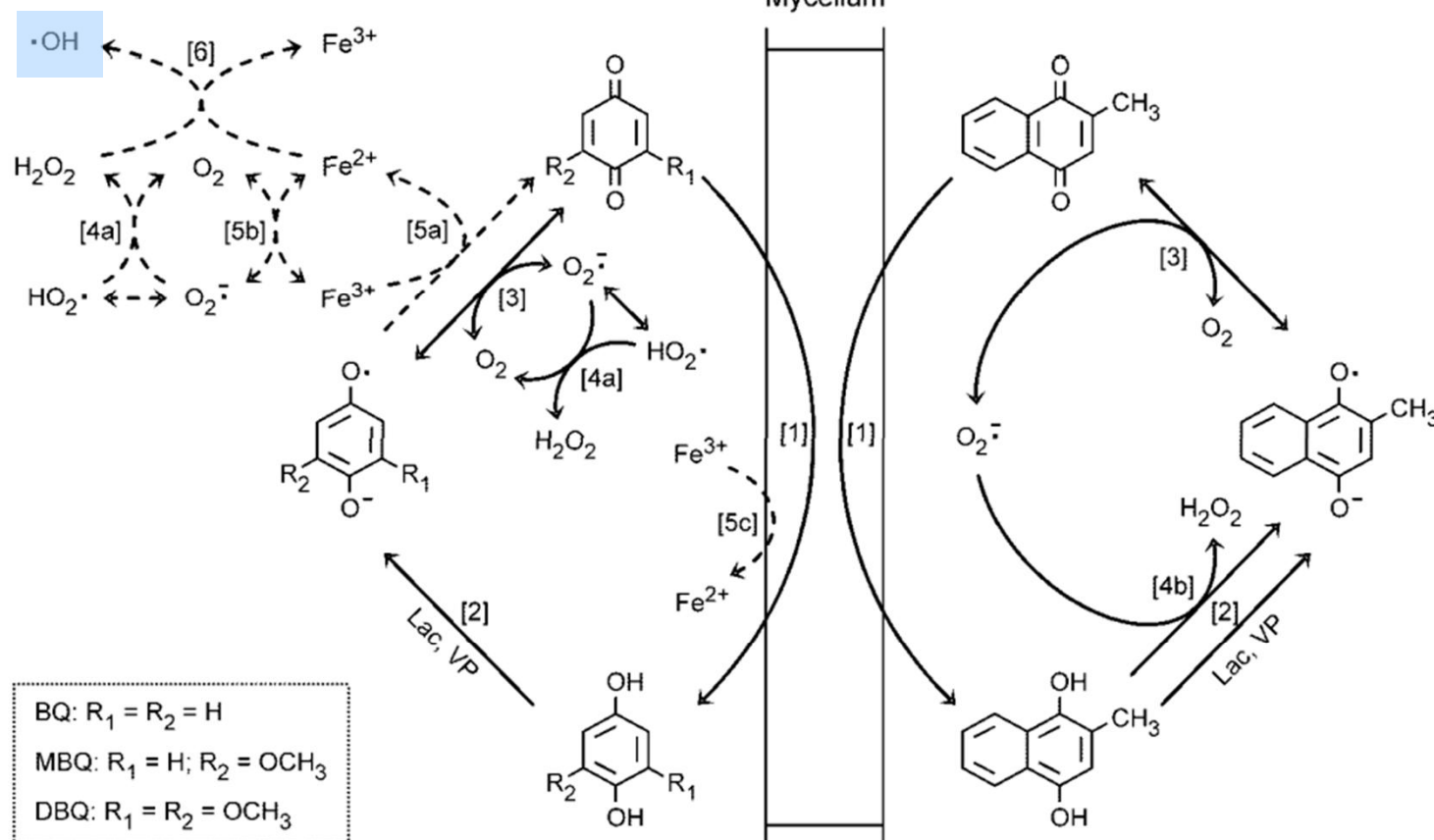
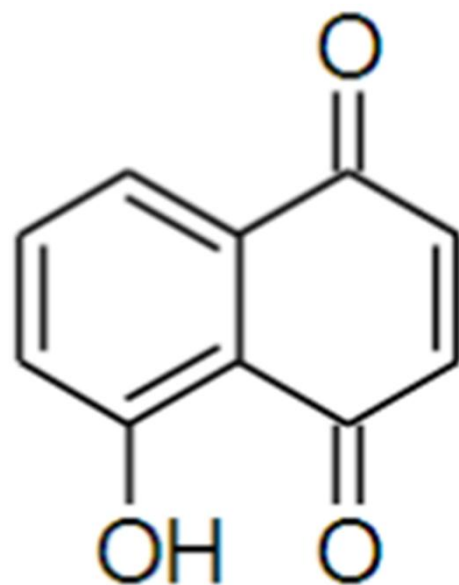


FIG. 8. Scheme of the quinone redox cycling process in *P. eryngii* (see Discussion for an explanation). (A) Main reactions involved in ROS production through BQ, MBQ, and DBQ redox cycling in the absence and presence of Fe^{3+} -EDTA (solid and dashed arrows, respectively). (B) MD redox cycling, showing hydroquinone propagation by $\text{O}_2^{\cdot-}$. Reversible reactions are indicated by double arrows.

Nuss schnaps



Juglon



Stockflecken auf Papier

Herr der Literarischen Hand-
werke. 1925. J. v. 8. Heft.
S. 542

Benn, Sir Ernest J. P.: *Monsens. Ein wirtschafts-politisches Rezept*. 8° (98; 1 Titelb.) Berlin 1921, Deutsches-Literarisches Institut; 250, geb. 3.— u. 3,50

Der Verfasser — Individualist — will wirtschaftliche Trügichälfte aufdecken. Hierzu wählte er statt der gemessenen Sprache der Wissenschaft den ihm als Verlagsunternehmer besser Uergenden Zeitungsstil, daher auch der auffallende Titel und Untertitel. Lügen schon hierin Gefahren, so kommt noch dazu, daß Benn alle Probleme einseitig vom Standpunkt des Kaufmanns betrachtet. So erklärt es sich, daß er neben manchen guten Gedanken auch irriktive Erkenntnisse verbreitet. Wichtig ist, daß der Gewinn Heraushebung von Händel und Industrie ist. Doch darf man über die nur zu häufige Ausartung des berechtigten Gewinns strebens in makroökonomische Ausschau nicht stillschweigend hinweggehen. Unrichtig ist der Satz, daß die Lebenshaltung eine ungefundene Grundlage zur Lohnfestsetzung bildet; denn die Arbeit muß, da sie keine Ware, sondern ein persönliches Eigentum ist, dem Arbeiter aus ein menschenwürdiges Schicksal ermöglichen. Daß Benn ohne nähere Begründung und ohne Erläuterung des Begriffs Siedlung von „Siedlungs-Urfug“ spricht, ist unverständlich. Auch sonst, nicht zuletzt in der Frage des Preises und bei dem Ruf nach voller Betätigungsfreiheit, dürften die Ausführungen häufiger Widerspruch als Zustimmung auslösen.

Stuttgart.

Anton Grauer.

Bakterieller Ligninabbau zu Pyruvat und Oxalacetat

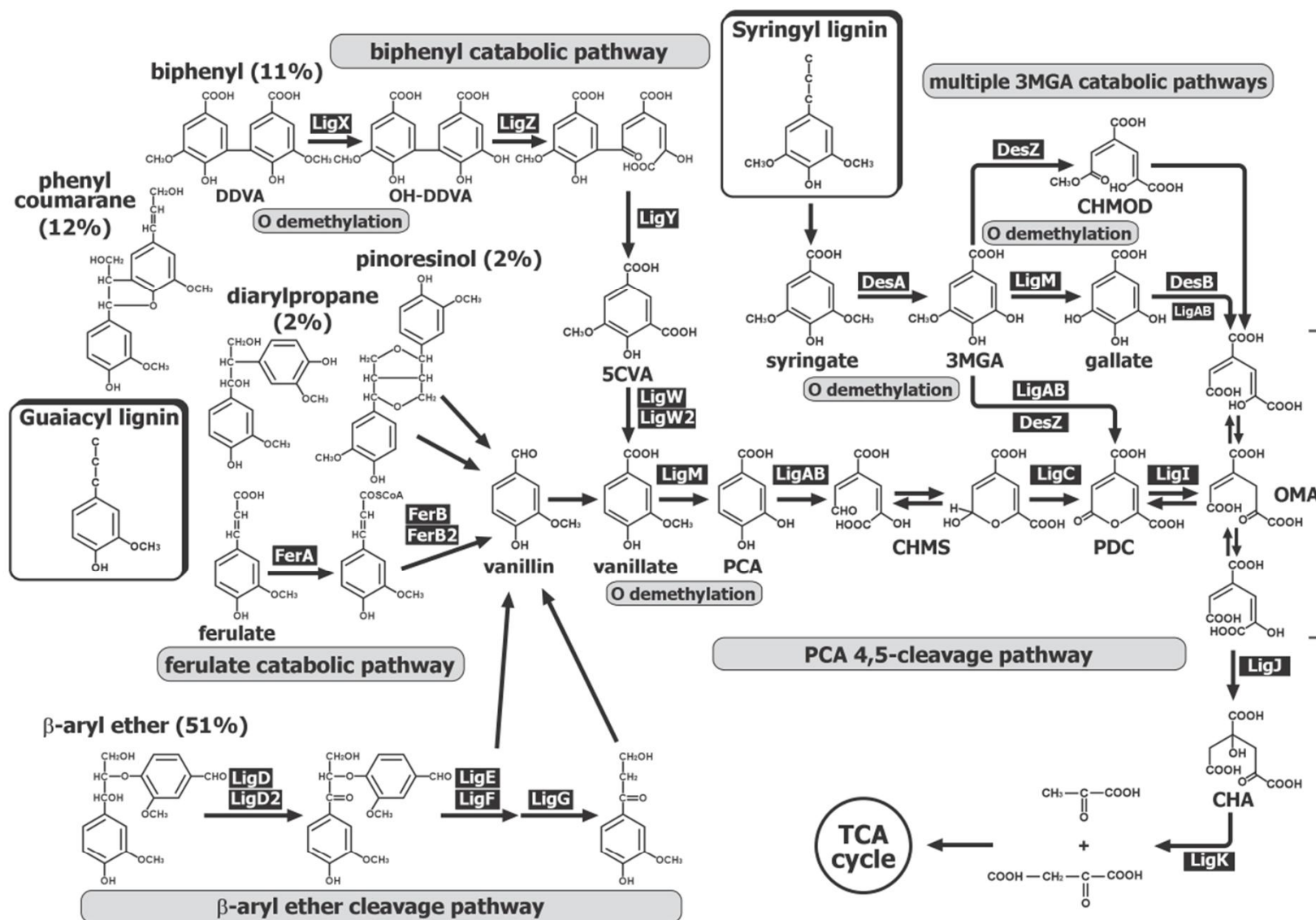
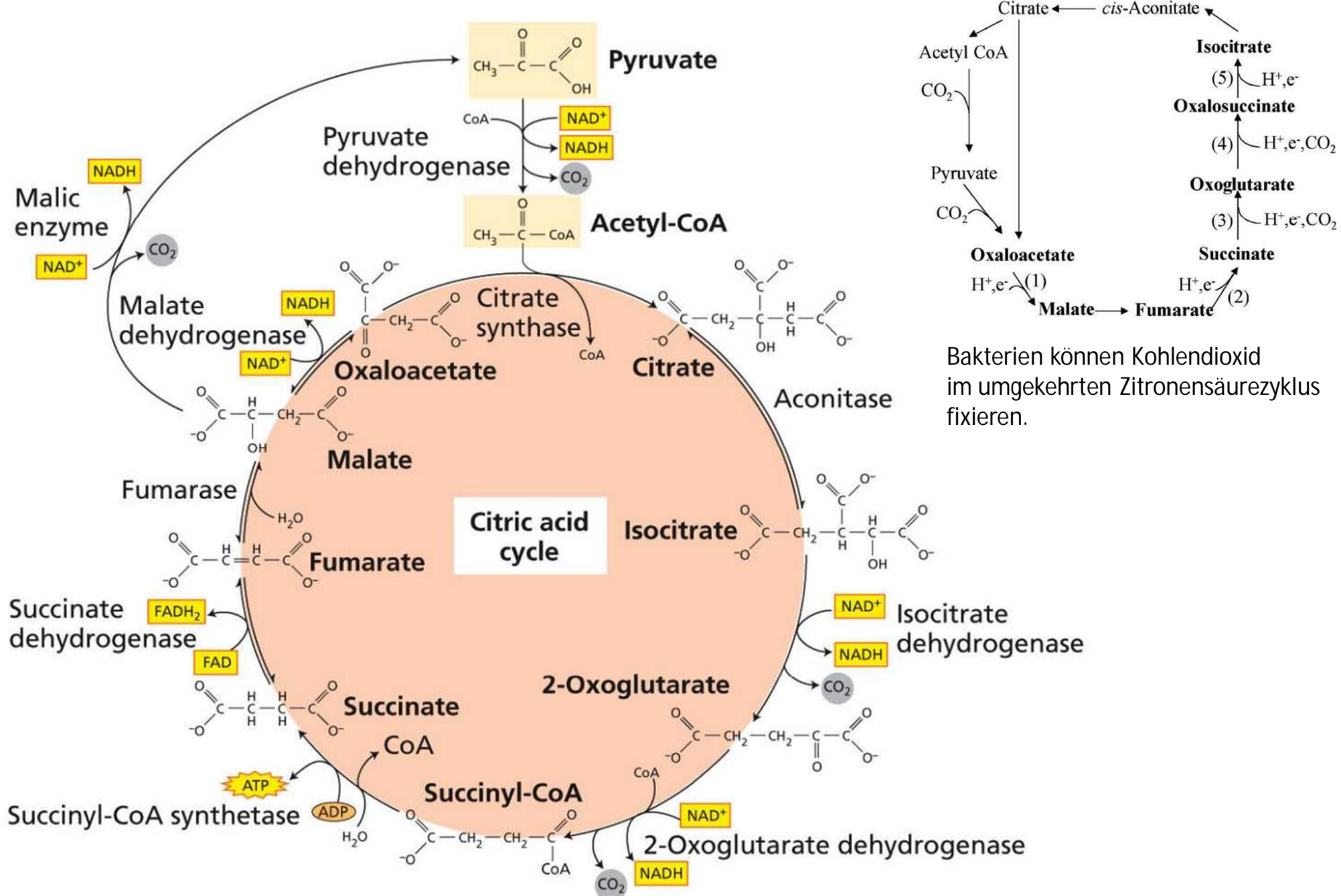


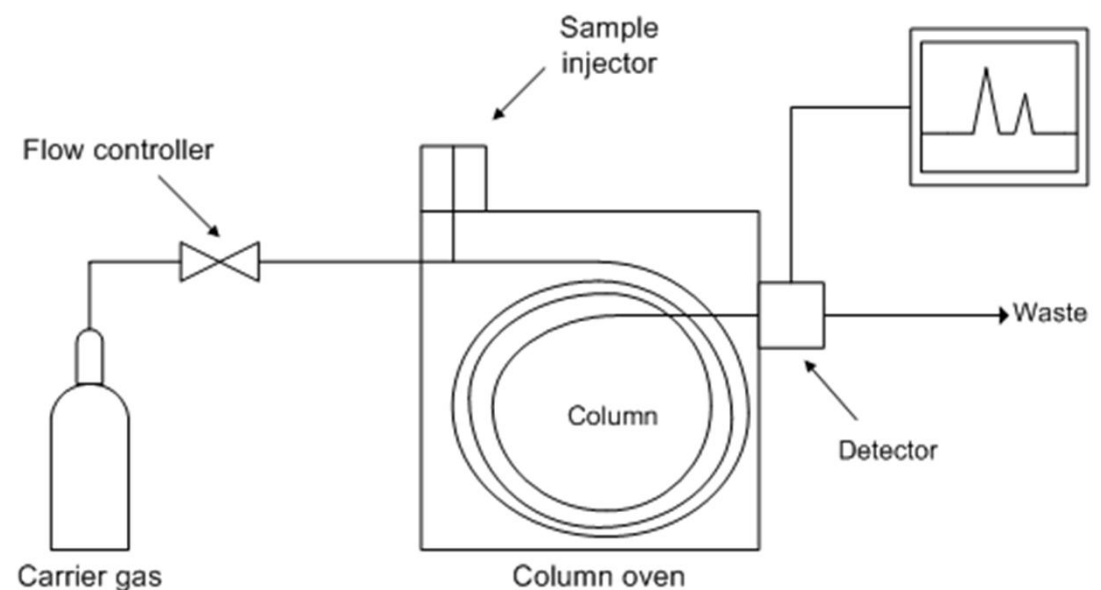
Fig. 1. Catabolic Pathways for the Degradation of Lignin-Derived Aromatic Compounds by *S. paucimobilis* SYK-6

SYK-6 is able to grow on various lignin-derived diaryls and monoaryls via the PCA 4,5-cleavage pathway and the multiple 3MGA catabolic pathways. The percentages are the ratios of the intermonomer linkages in native lignin.¹⁰¹⁾ Abbreviations: DDVA, 5,5'-dehydروdivanillate; OH-DDVA, 2,2',3-trihydroxy-3'-methoxy-5,5'-dicarboxybibenyl; 5CVA, 5-carboxyvanillate; PCA, protocatechuate; CHMS, 4-carboxy-2-hydroxymuconate-6-semialdehyde; PDC, 2-pyrone-4,6-dicarboxylate; OMA, 4-oxalomesaconate; CHA, 4-carboxy-4-hydroxy-2-oxoadipate; 3MGA, 3-O-methylgallate; CHMOD, 4-carboxy-2-hydroxy-6-methoxy-6-oxohexa-2,4-dienoate; TCA, tricarboxylic acid.

Zitronensäure Zyklus



Gas Chromatographie (GC)



GC Säulen



Gepackte Säule

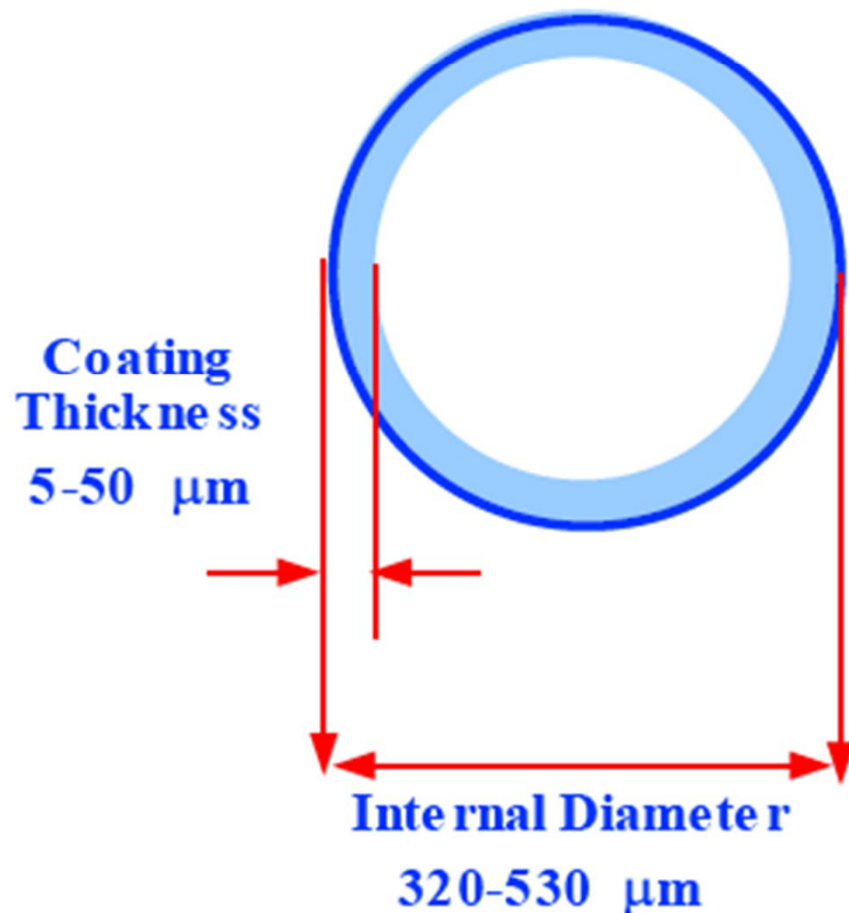


Quarzkapillarsäule

Kapillarsäulen

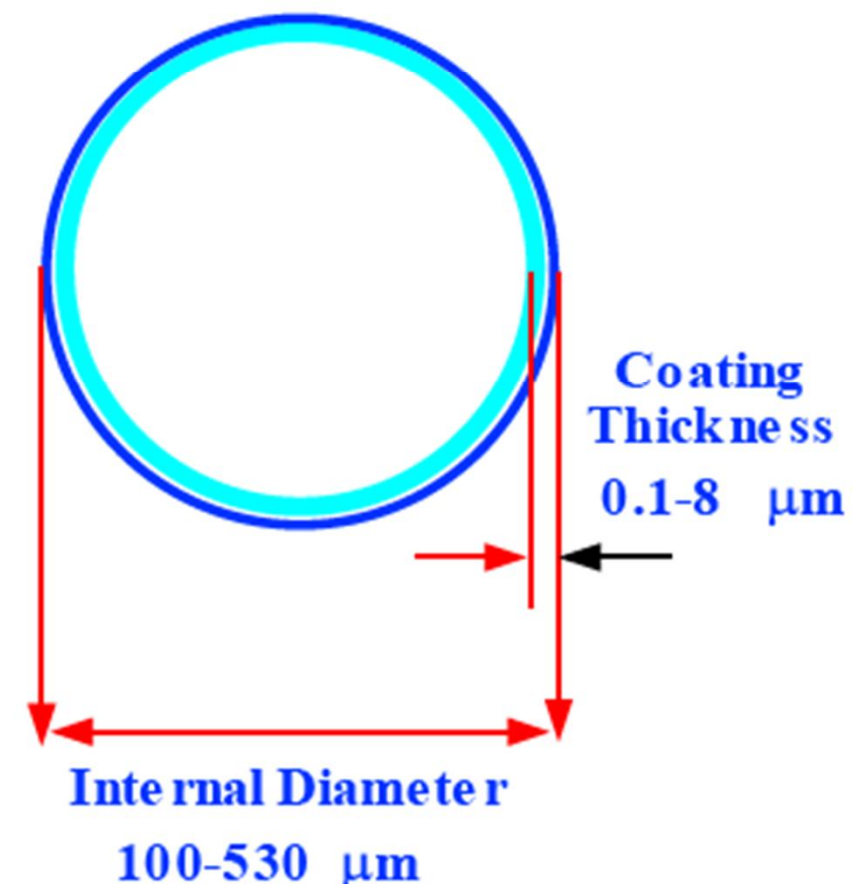
PLOT Columns

Porous Layered Open Tubes

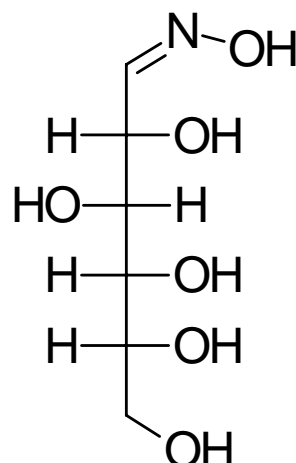
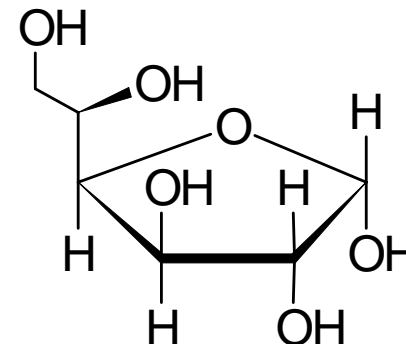
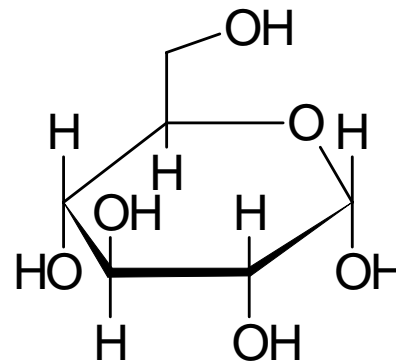
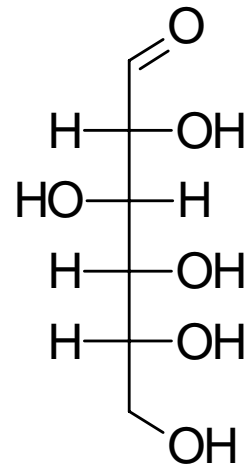


WCOT Columns

Wall Coated Open Tubes

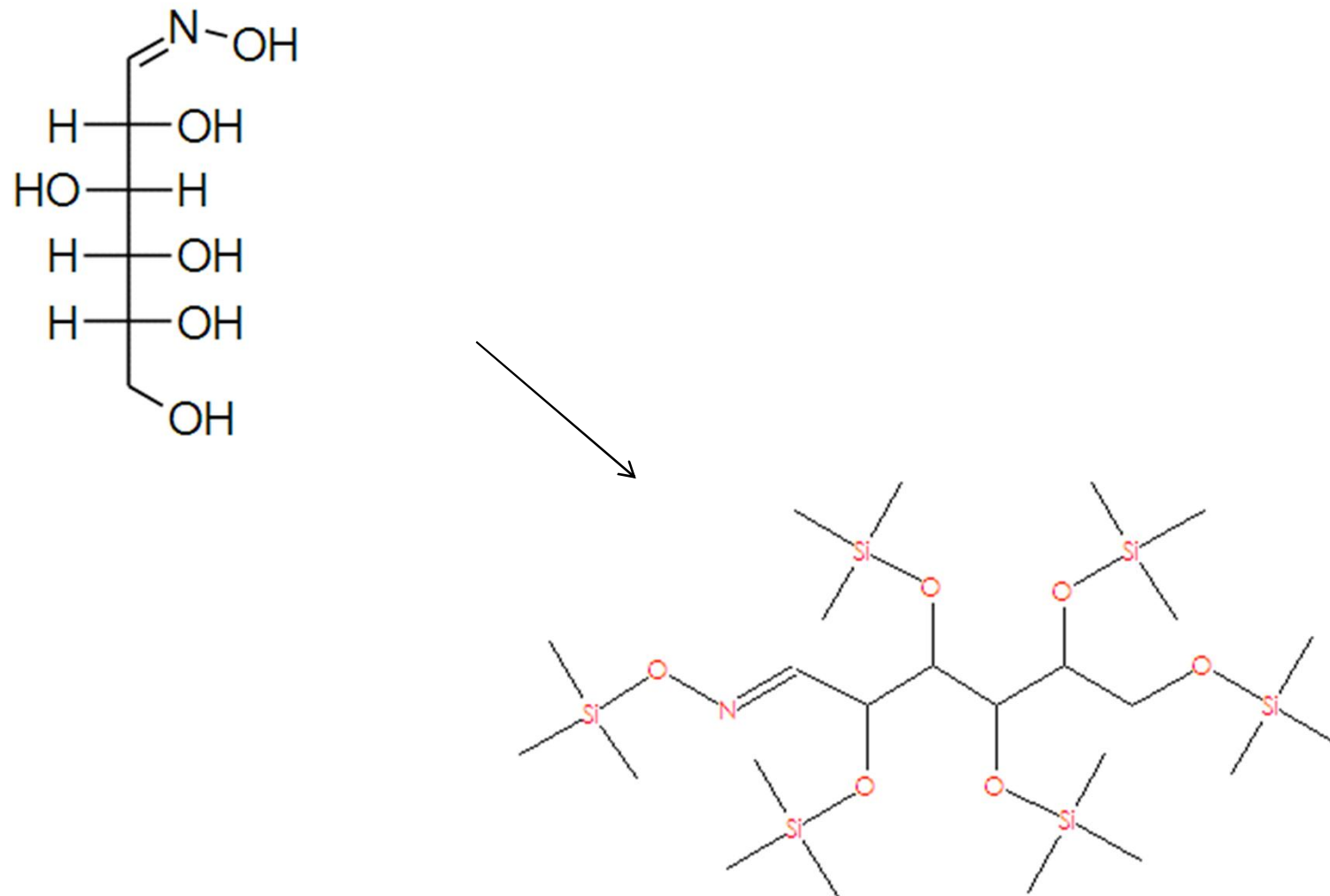


Derivatisierung der Analyten: Oximierung

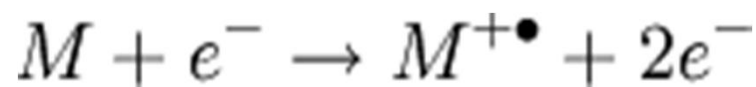
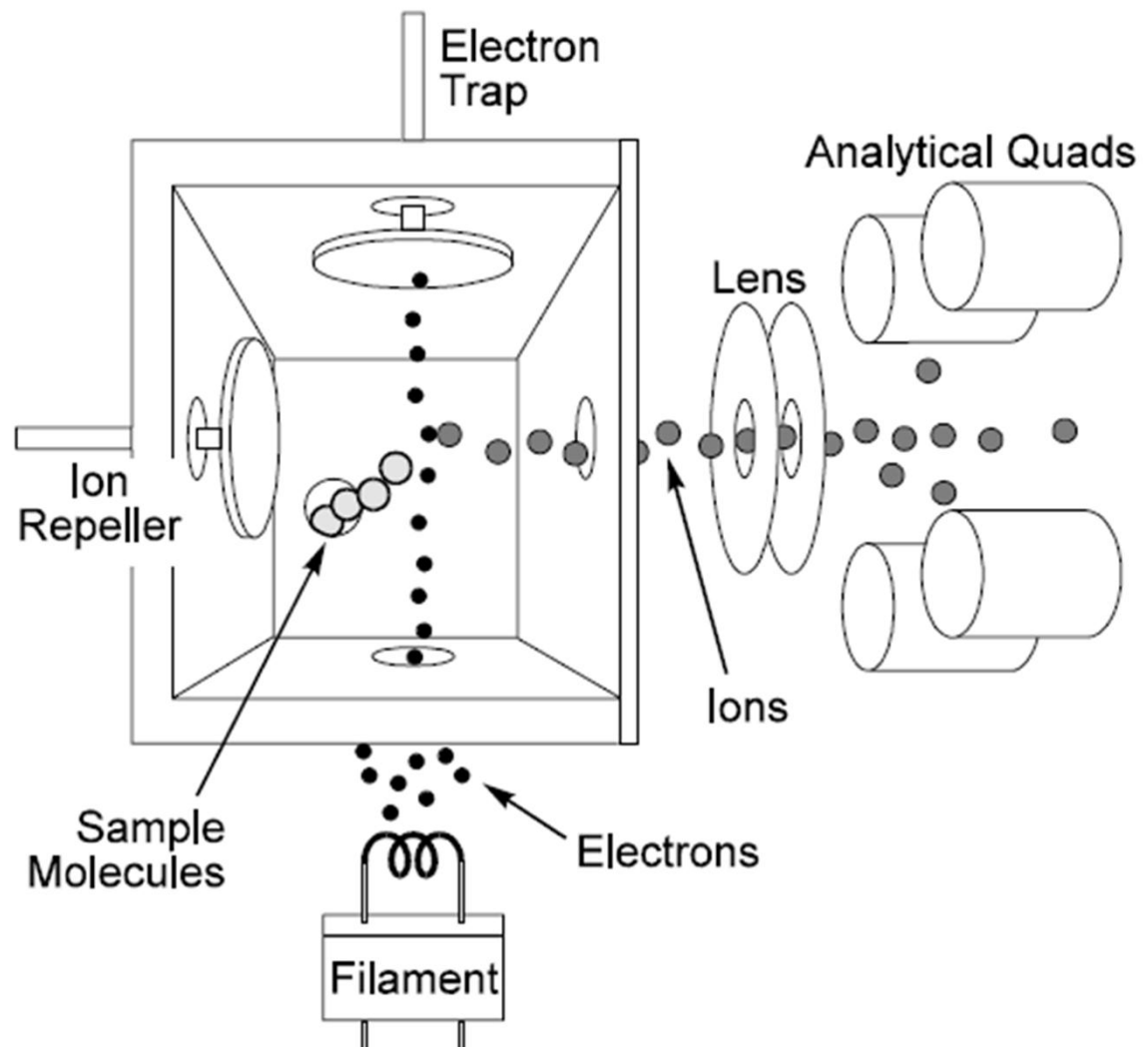
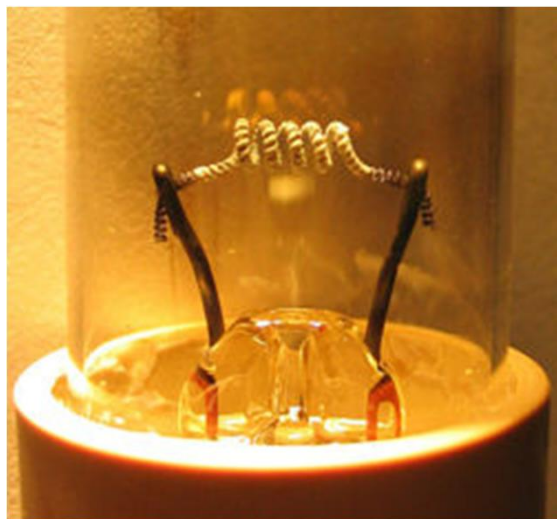


Oximierung reduziert die Anzahl der bei GC Trennungen erhaltenen Peaks.

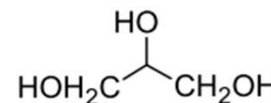
Derivatisierung der Analyten: Silylierung



Elektronenstoß Ionisierung

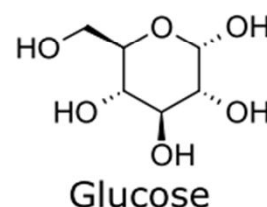


Biomarker im Boden

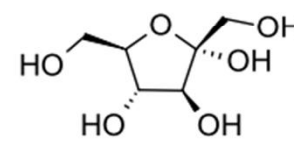


Glycerin

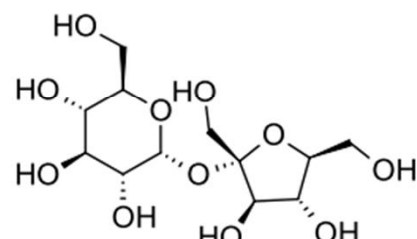
Bakterien



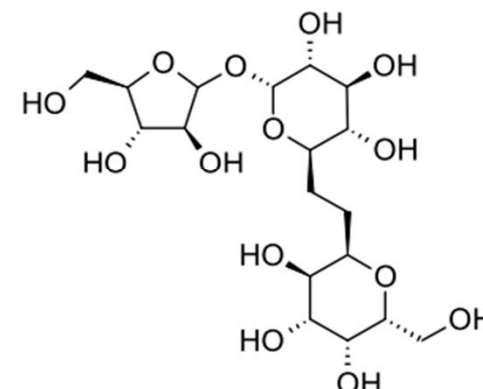
Glucose



Fructose

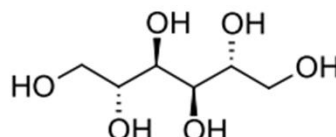


Saccharose

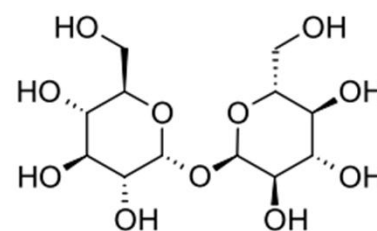


Raffinose

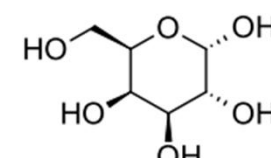
Pflanzen



Mannitol



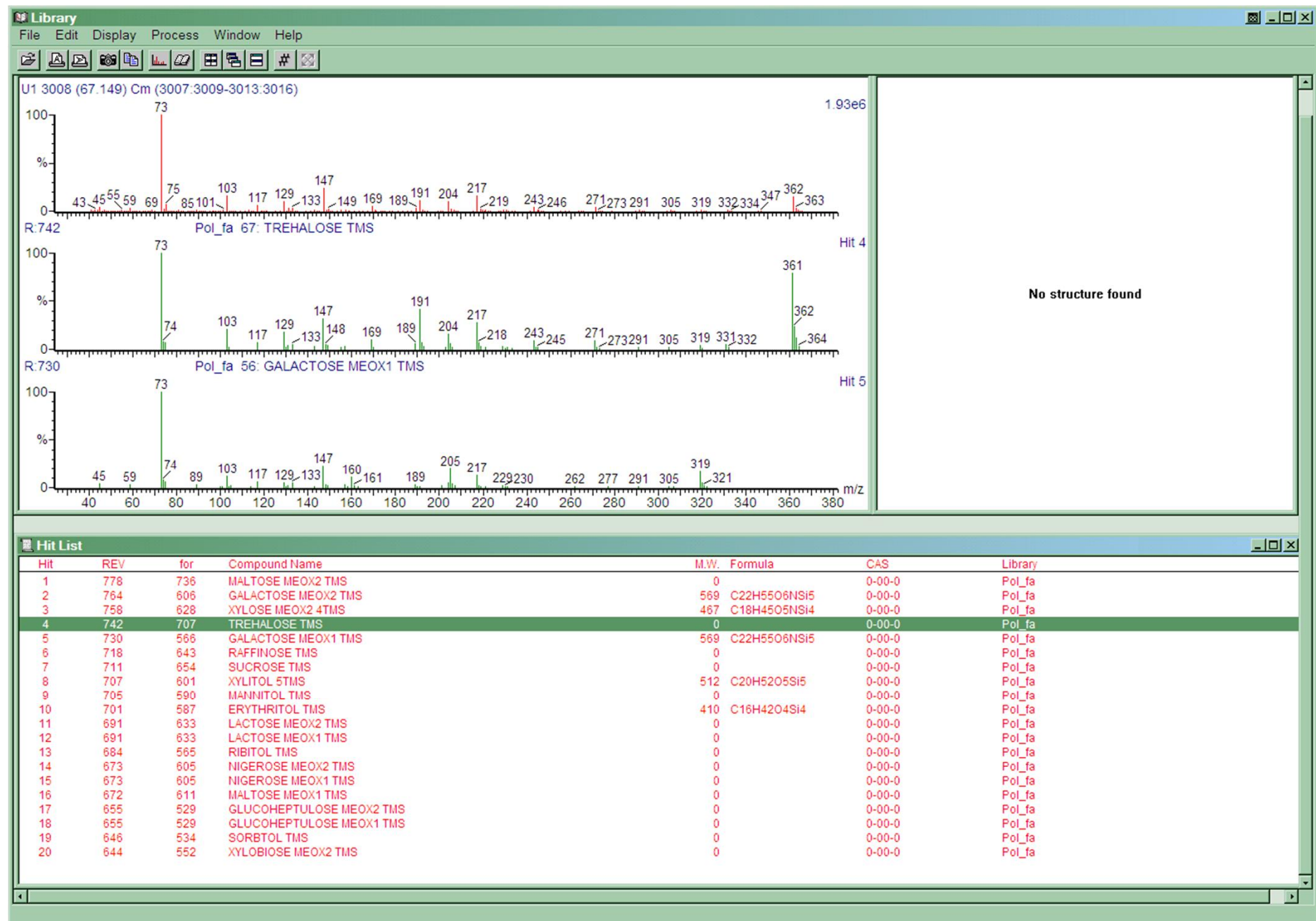
Trehalose



Galaktose

Pilze

Strukturaufklärung: Vergleichsdatenbanken



Strukturaufklärung: Retentionszeiten

T_MSRI_ID.xls (schreibgeschützt) - OpenOffice.org Calc

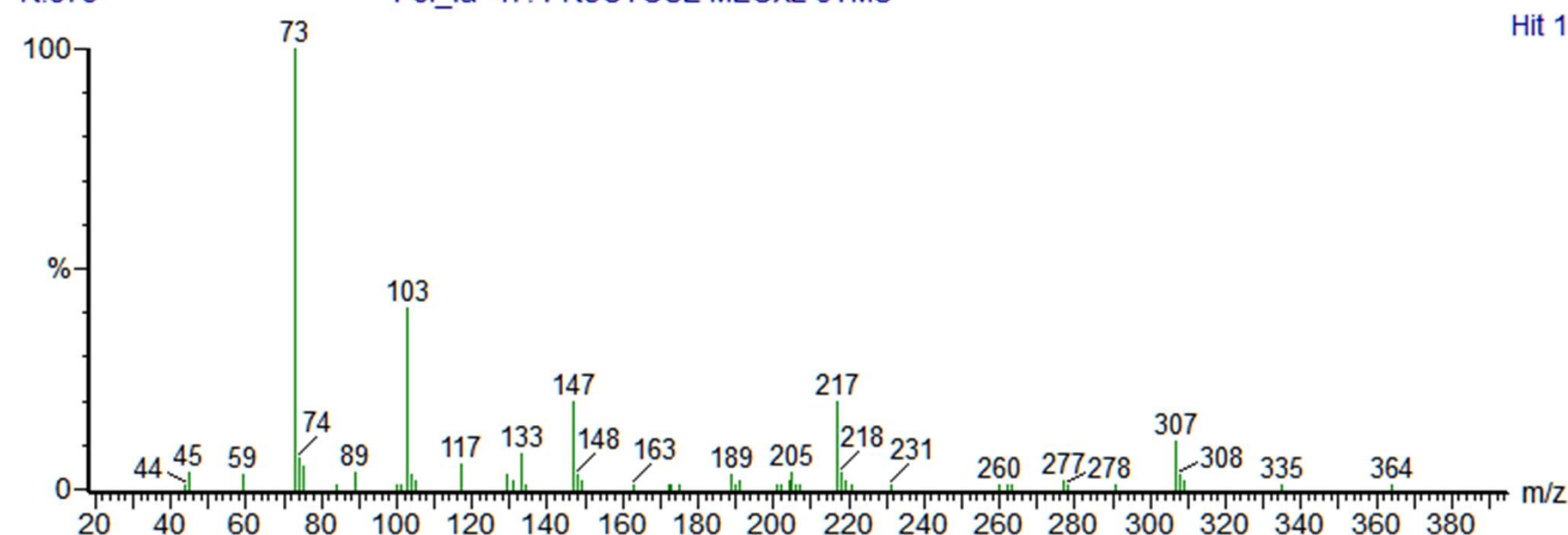
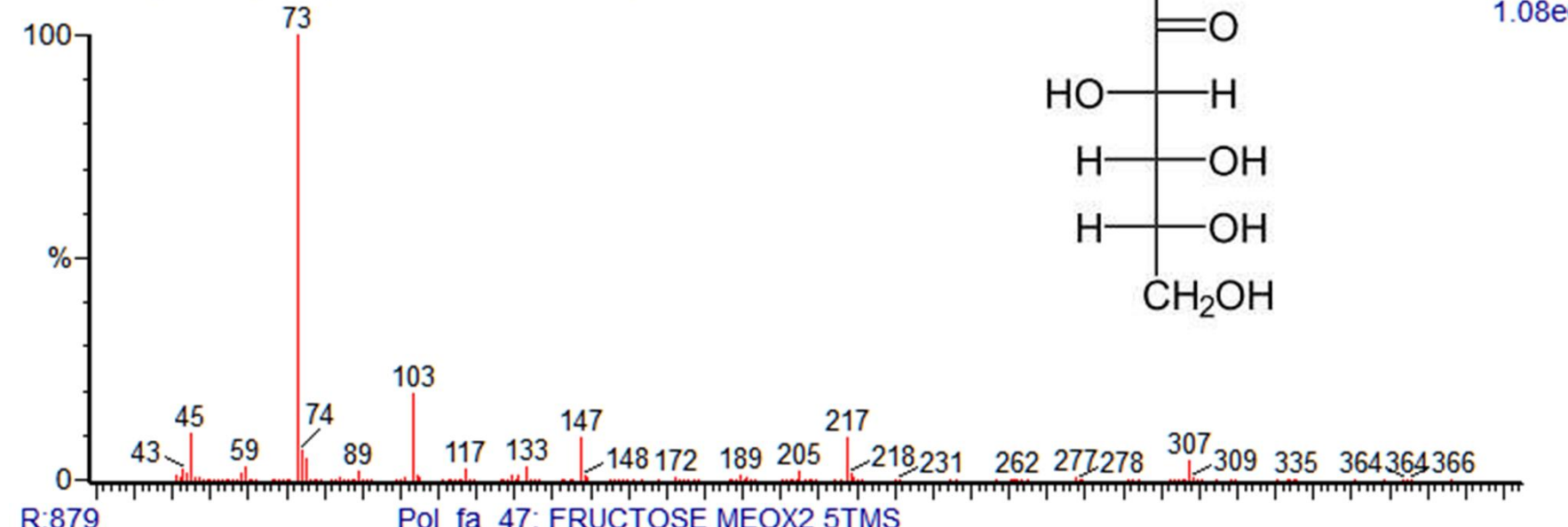
Datei Bearbeiten Ansicht Einfügen Format Extras Daten Fenster Hilfe

B1:B65536 = 1873

	A	B	C	D	E	F	G	H	I	J
864	186008	1873.0	3035BB03	M[2]	Q_MSRI_ID	Sorbose methoxyamine (5TMS)	identified	ambient δ¹²C	SD	
865	186009	1857.3	3184BF06	M[2]	Q_MSRI_ID	3,5-Dimethoxycinnamic acid {BP} (1TMS)	identified	ambient δ¹²C	SD	Standard
866	187001	1871.1	3161BN33	M[2]	Q_MSRI_ID	L-Asparagine (4TMS)	identified	ambient δ¹²C	ATH L	Arabidopsis thaliana ec
867	187001	1870.8	1135EC44	M[1]	T_MSRI_ID	L-Asparagine (4TMS)	identified	ambient δ¹²C	ATH R	Arabidopsis thaliana ec
868	187001	1871.6	1164EK04	M[1]	T_MSRI_ID	L-Asparagine (4TMS)	identified	ambient δ¹²C	SD	Standard
869	187001	1871.4	1179EK03	M[1]	T_MSRI_ID	L-Asparagine (4TMS)	identified	ambient δ¹²C	SD	Standard
870	187002	1873.3	3161BN21	M[2]	Q_MSRI_ID	Fructose methoxyamine (5TMS)	identified	ambient δ¹²C	ATH L	Arabidopsis thaliana ec
871	187002	1865.8	1135EC44	M[1]	T_MSRI_ID	Fructose methoxyamine (5TMS)	identified	ambient δ¹²C	ATH R	Arabidopsis thaliana ec
872	187002	1866.7	1185EK18	M[1]	T_MSRI_ID	Fructose methoxyamine (5TMS)	identified	ambient δ¹²C	SD	Standard
873	187002	1866.1	1135EC00	M[1]	T_MSRI_ID	Fructose methoxyamine (5TMS)	identified	ambient δ¹²C	SD	Standard
874	187002	1874.5	2236BN30	M[2]	Q_MSRI_ID	Fructose methoxyamine (5TMS)	identified	ambient δ¹²C	LJA LD	Lotus japonicus (Regel)
875	187002	1877.1	2236BN50	M[2]	Q_MSRI_ID	Fructose methoxyamine (5TMS)	identified	ambient δ¹²C	LJA F	Lotus japonicus (Regel)
876	187002	1875.9	2236BN14	M[2]	Q_MSRI_ID	Fructose methoxyamine (5TMS)	identified	ambient δ¹²C	LJA RL	Lotus japonicus (Regel)
877	187002	1871.7	2236BN40	M[2]	Q_MSRI_ID	Fructose methoxyamine (5TMS)	identified	ambient δ¹²C	LJA LM	Lotus japonicus (Regel)
878	187002	1874.5	2236BN40	M[2]	Q_MSRI_ID	Fructose methoxyamine (5TMS)	identified	ambient δ¹²C	LJA LM	Lotus japonicus (Regel)
879	187002	1875.0	2236BN20	M[2]	Q_MSRI_ID	Fructose methoxyamine (5TMS)	identified	ambient δ¹²C	LJA RP	Lotus japonicus (Regel)
880	187002	1875.7	1267BK12	M[2]	Q_MSRI_ID	Fructose methoxyamine (5TMS)	identified	ambient δ¹²C	SD	
881	187003	1869.2	1344EC16	M[1]	T_MSRI_ID	2-Ketogluconic acid methoxyamine (5TMS)	identified	ambient δ¹²C	SD	Standard
882	187005	1871.9	1135EC44	M[1]	T_MSRI_ID		ambient δ¹²C	ATH R	Arabidopsis thaliana ec	
883	187006	1865.9	1267BK12	M[2]	Q_MSRI_ID	[911; O-Methyl-inositol (5TMS)]	matched	ambient δ¹²C	NID	
884	187006	1865.4	2236BN20	M[2]	Q_MSRI_ID	[923; O-Methyl-inositol (5TMS)]	matched	ambient δ¹²C	LJA RP	Lotus japonicus (Regel)
885	187007	1870.1	1135EC00	M[1]	T_MSRI_ID	Sorbose methoxyamine {BP} (5TMS)	identified	ambient δ¹²C	SD	Standard
886	187007	1878.2	3035BB03	M[2]	Q_MSRI_ID	Sorbose methoxyamine {BP} (5TMS)	identified	ambient δ¹²C	SD	
887	187008	1873.3	1135EC00	M[1]	T_MSRI_ID	Allose methoxyamine (5TMS)	identified	ambient δ¹²C	SD	Standard
888	187009	1872.8	3233BF05	M[2]	Q_MSRI_ID	Calystegine B4 methoxyamine {BP} (4TMS)	identified	ambient δ¹²C	SD	Standard
889	188001	1883.7	1185EK19	M[1]	T_MSRI_ID	Galactose methoxyamine (5TMS)	identified	ambient δ¹²C	SD	Standard
890	188001	1885.5	1135EC00	M[1]	T_MSRI_ID	Galactose methoxyamine (5TMS)	identified	ambient δ¹²C	SD	Standard
891	188001	1892.0	2236BN50	M[2]	Q_MSRI_ID	Galactose methoxyamine (5TMS)	identified	ambient δ¹²C	LJA F	Lotus japonicus (Regel)
892	188001	1891.7	2236BN20	M[2]	Q_MSRI_ID	Galactose methoxyamine (5TMS)	identified	ambient δ¹²C	LJA RP	Lotus japonicus (Regel)
893	188001	1893.3	1215BK38	M[2]	Q_MSRI_ID	Galactose methoxyamine (5TMS)	identified	ambient δ¹²C	SD	
894	188002	1879.8	1185EK17	M[1]	T_MSRI_ID	Mannose methoxyamine (5TMS)	identified	ambient δ¹²C	SD	Standard
895	188002	1878.7	1135EC00	M[1]	T_MSRI_ID	Mannose methoxyamine (5TMS)	identified	ambient δ¹²C	SD	Standard
896	188002	1888.1	1267BK12	M[2]	Q_MSRI_ID	Mannose methoxyamine (5TMS)	identified	ambient δ¹²C	SD	
897	188003	1884.8	2011EC37	M[1]	T_MSRI_ID	D(-)-Galactono-1,4-lactone (4TMS)	identified	ambient δ¹²C	SD	Standard
898	188004	1883.9	3161BN26	M[2]	Q_MSRI_ID	Fructose methoxyamine {BP} (5TMS)	identified	ambient δ¹²C	ATH L	Arabidopsis thaliana ec
899	188004	1874.1	1135EC25	M[1]	T_MSRI_ID	Fructose methoxyamine {BP} (5TMS)	identified	ambient δ¹²C	ATH R	Arabidopsis thaliana ec
900	188004	1875.4	1185EK18	M[1]	T_MSRI_ID	Fructose methoxyamine {BP} (5TMS)	identified	ambient δ¹²C	SD	Standard
901	188004	1874.8	1135EC00	M[1]	T_MSRI_ID	Fructose methoxyamine {BP} (5TMS)	identified	ambient δ¹²C	SD	Standard
902	188004	1885.6	2236BN14	M[2]	Q_MSRI_ID	Fructose methoxyamine {BP} (5TMS)	identified	ambient δ¹²C	LJA RL	Lotus japonicus (Regel)
903	188004	1883.5	3237BF24	M[2]	Q_MSRI_ID	Fructose methoxyamine {BP} (5TMS)	identified	ambient δ¹²C	SD	
904	188004	1885.1	1267BK12	M[2]	Q_MSRI_ID	Fructose methoxyamine {BP} (5TMS)	identified	ambient δ¹²C	SD	
905	188005	1879.6	1344EC04	M[1]	T_MSRI_ID	Adenine (2TMS)	identified	ambient δ¹²C	SD	Standard

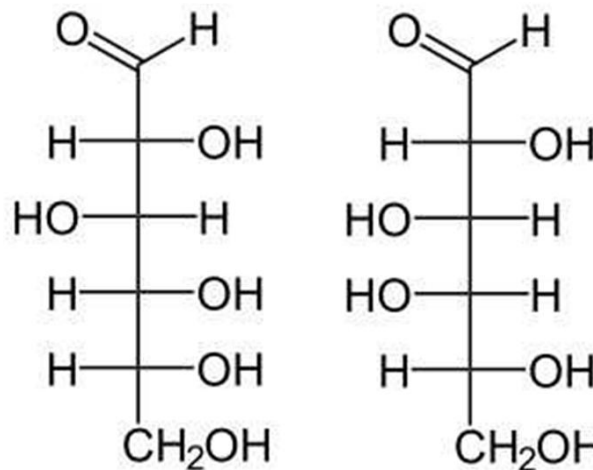
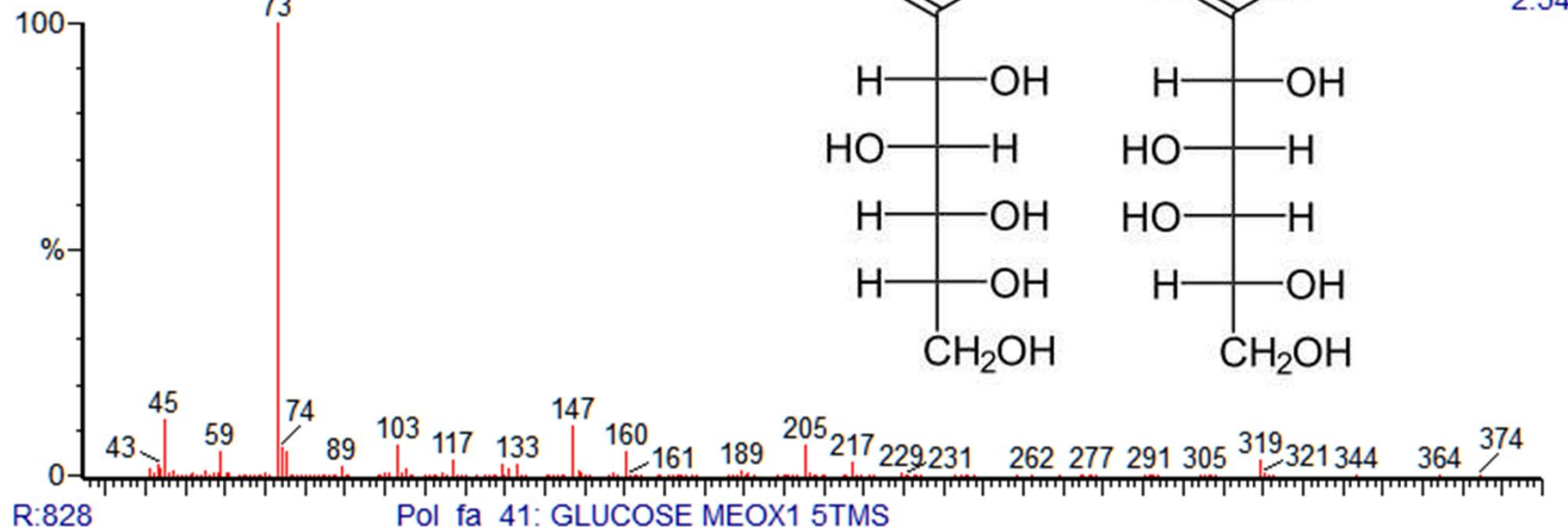
Fructose

BL3 1560 (42.601) Cm (1552:1560-1531:1538)

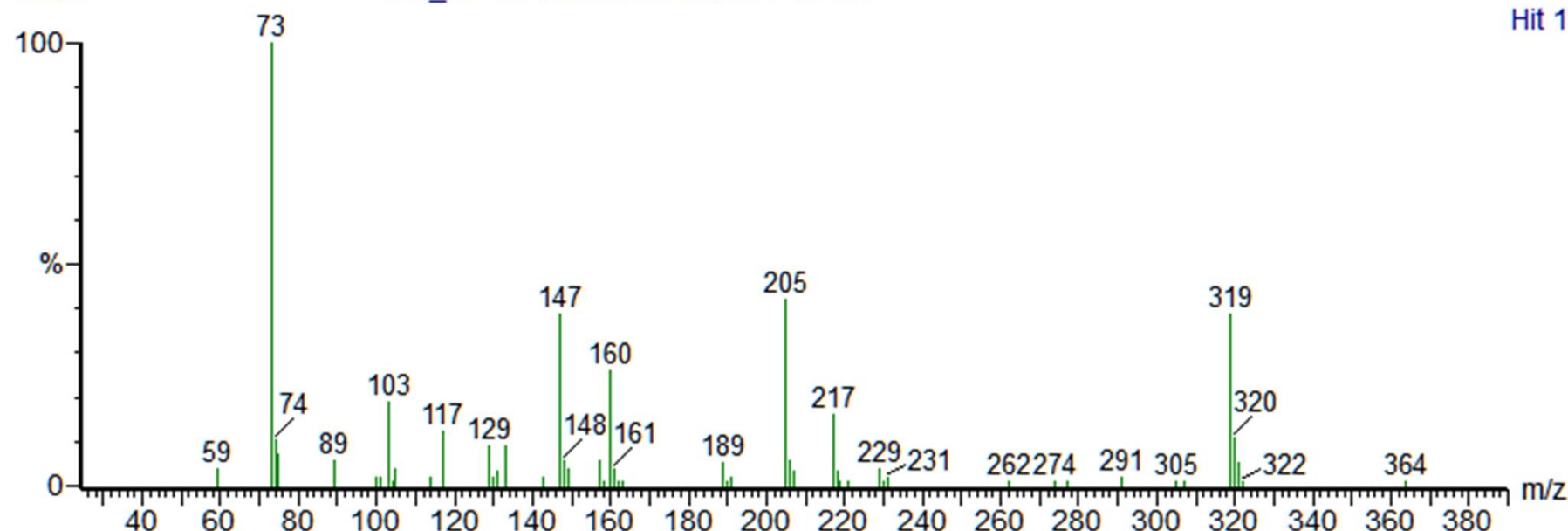


Glucose (Galactose)

BL3 1611 (43.536) Cm (1601:1611-1618:1623)



2.54e6



Hit 1